

Fig.

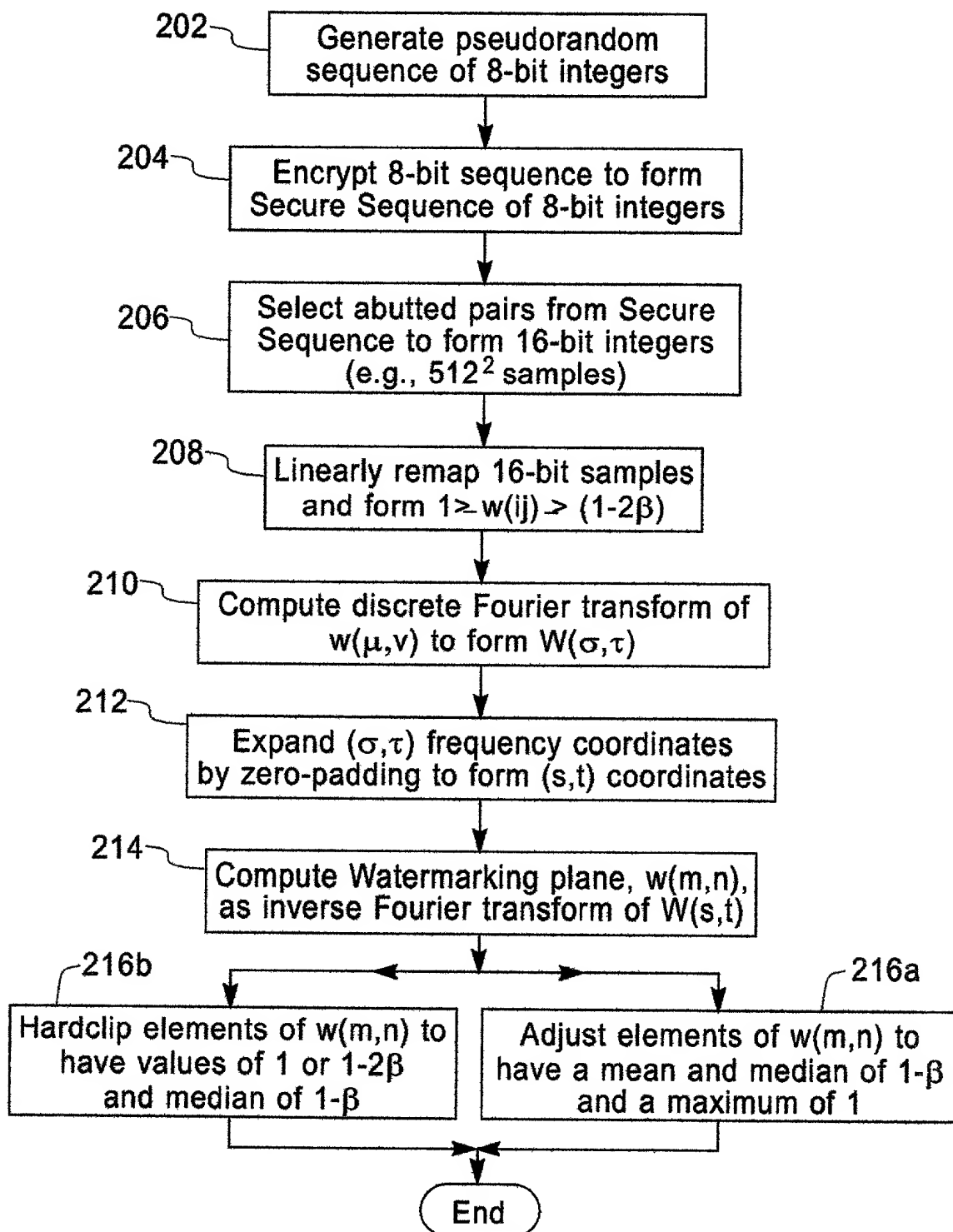


Fig. 2

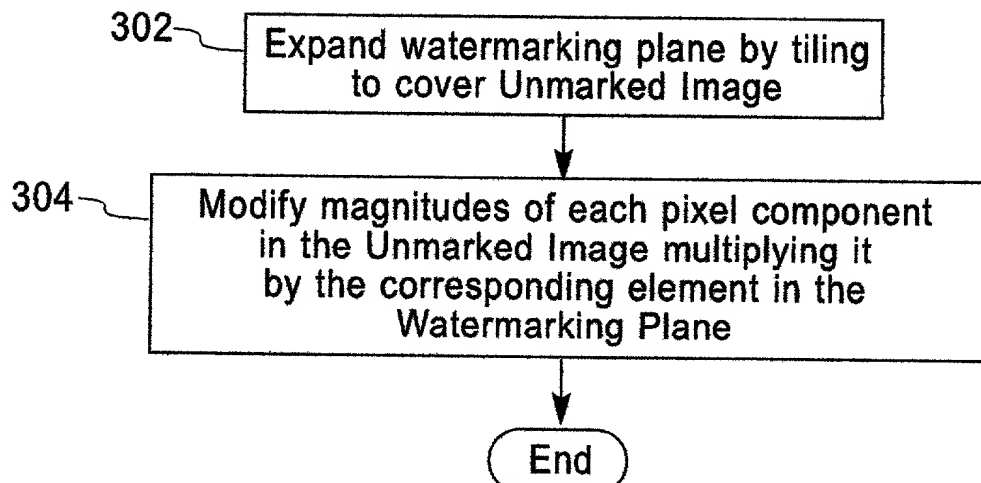


Fig. 3

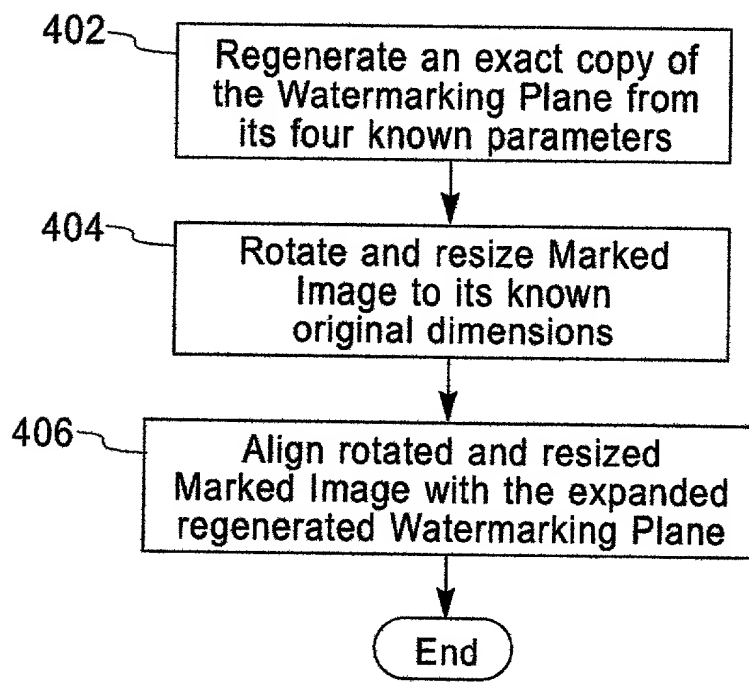


Fig. 4

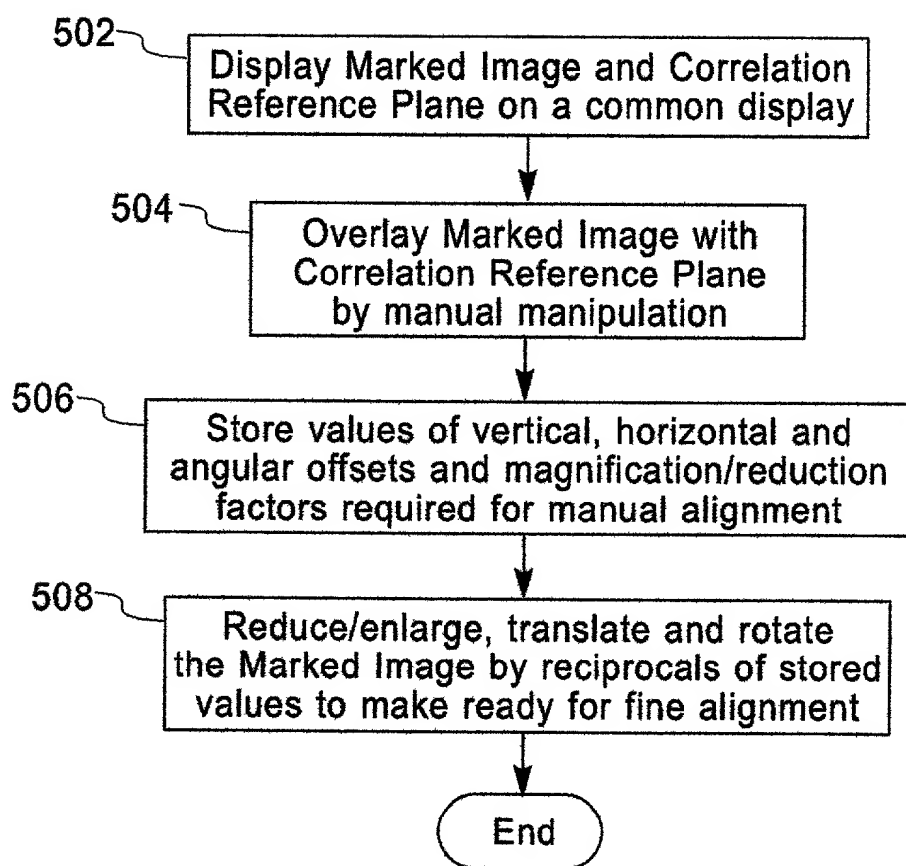


Fig. 5

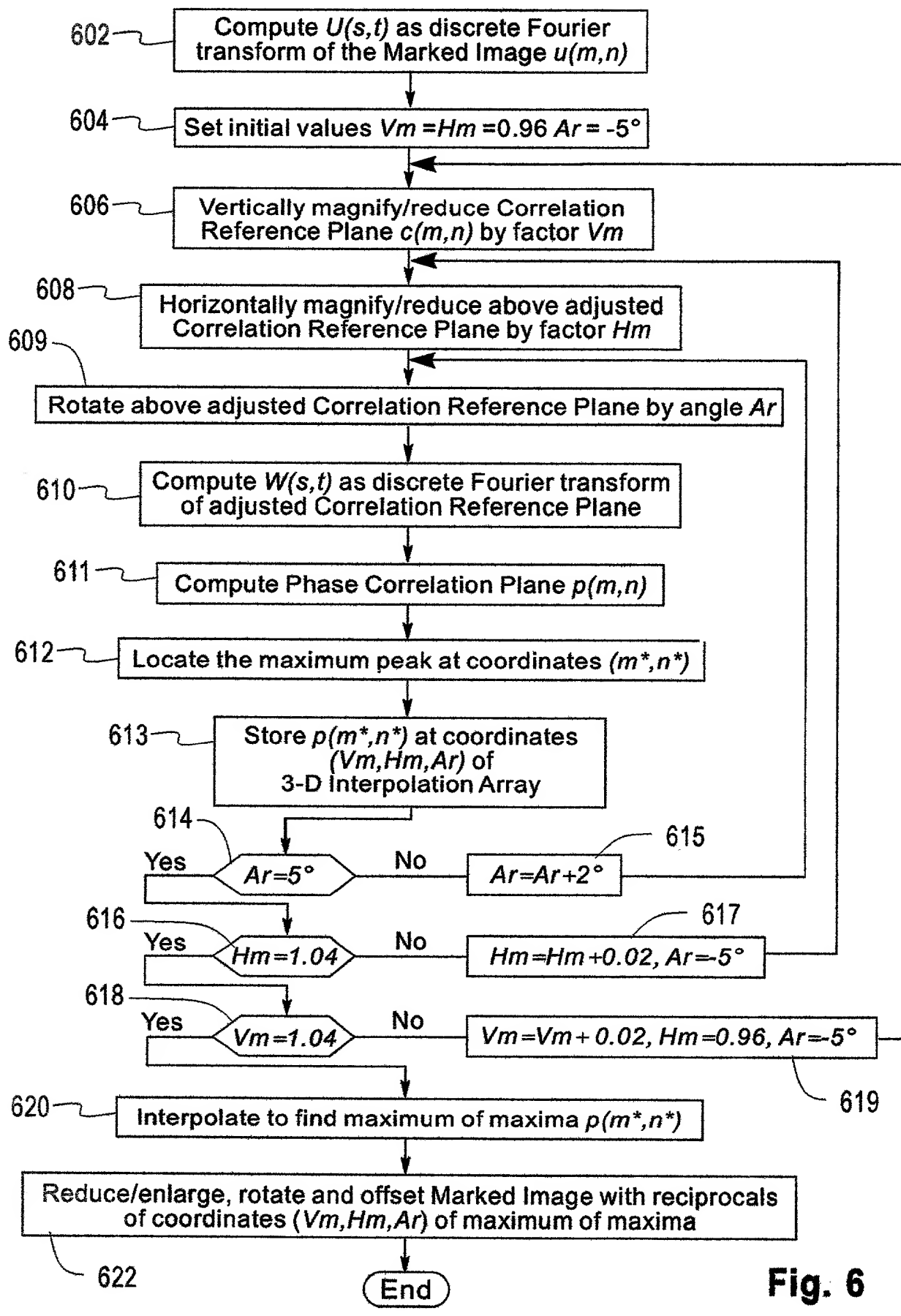


Fig. 6

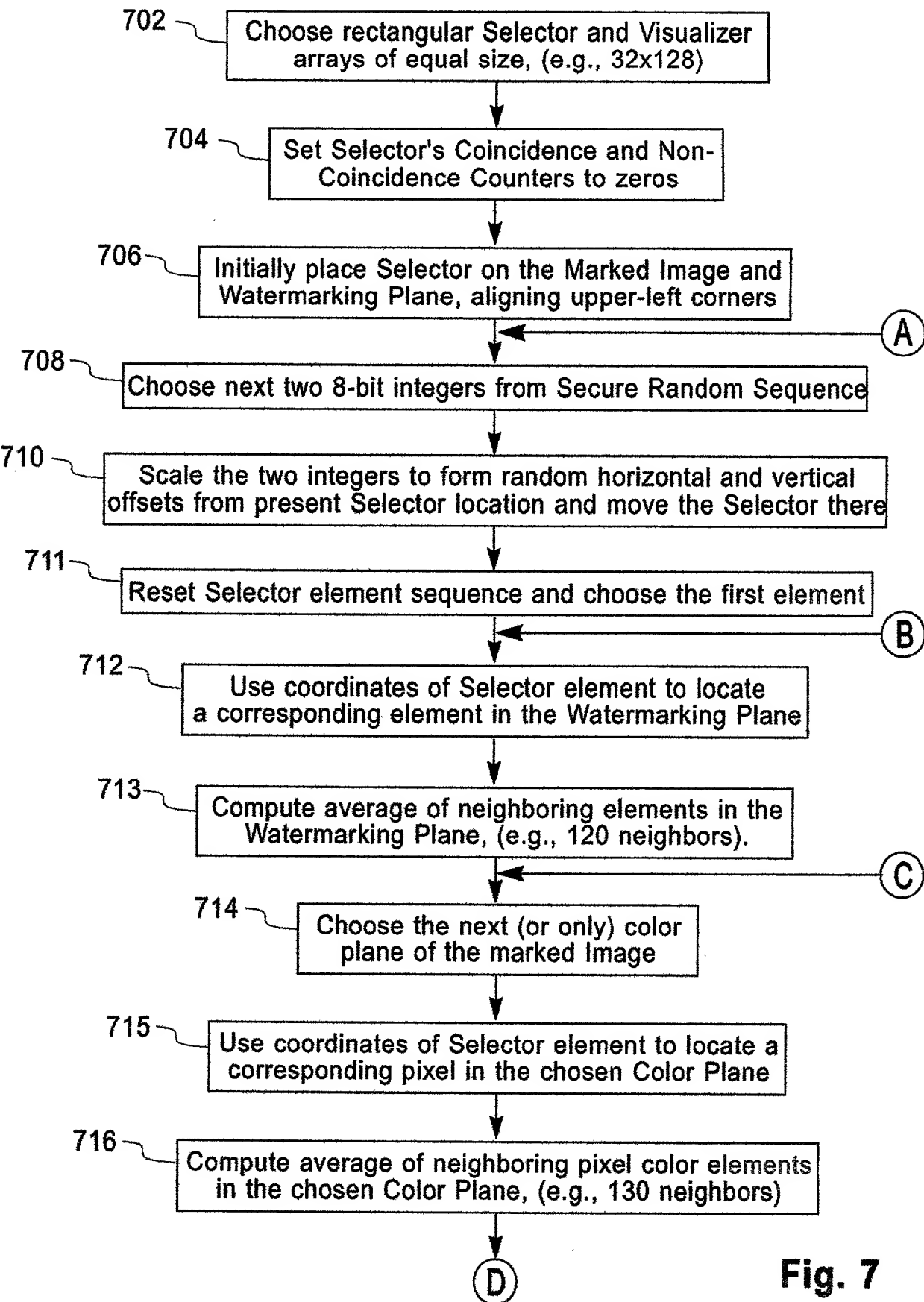


Fig. 7

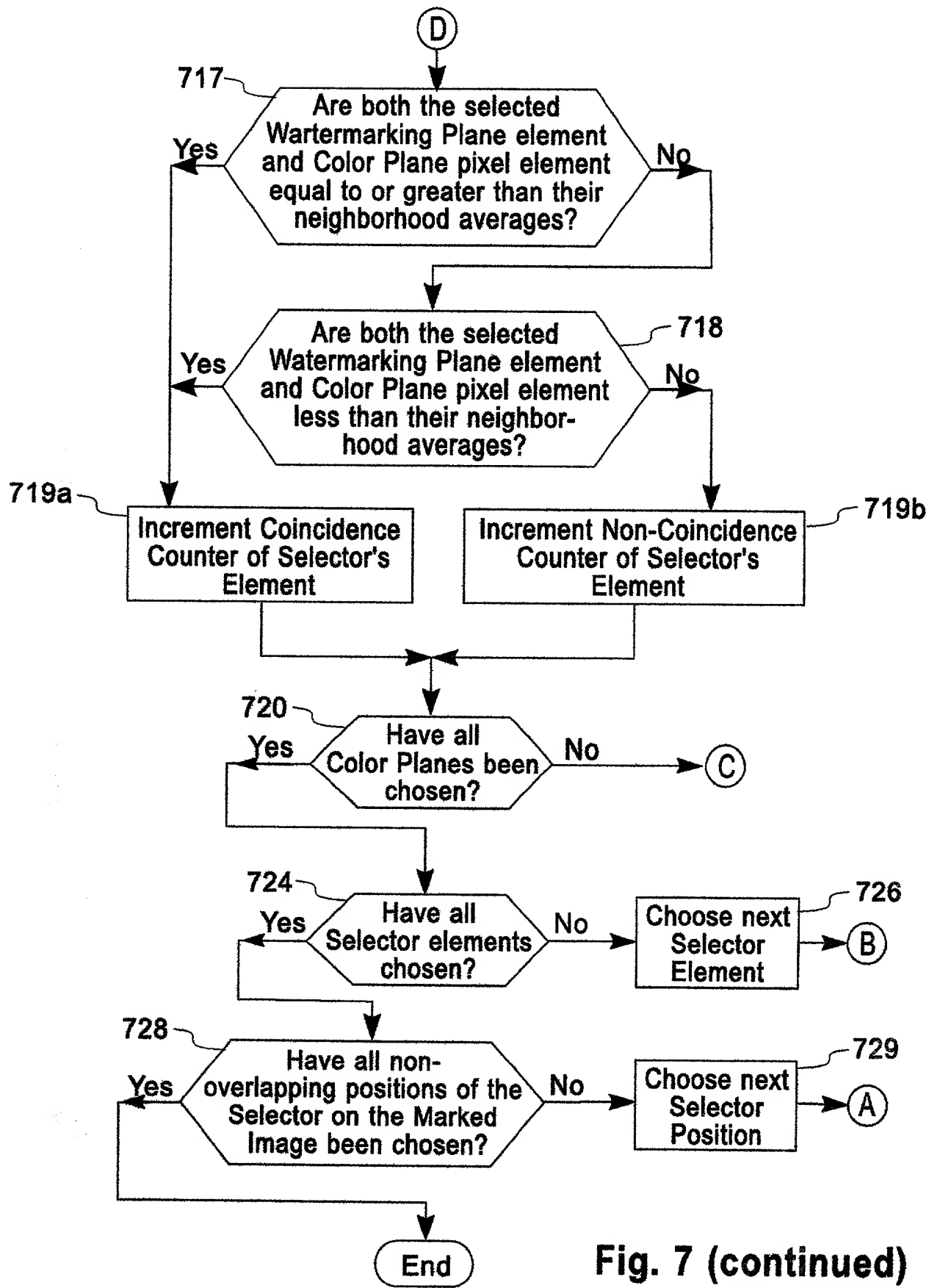
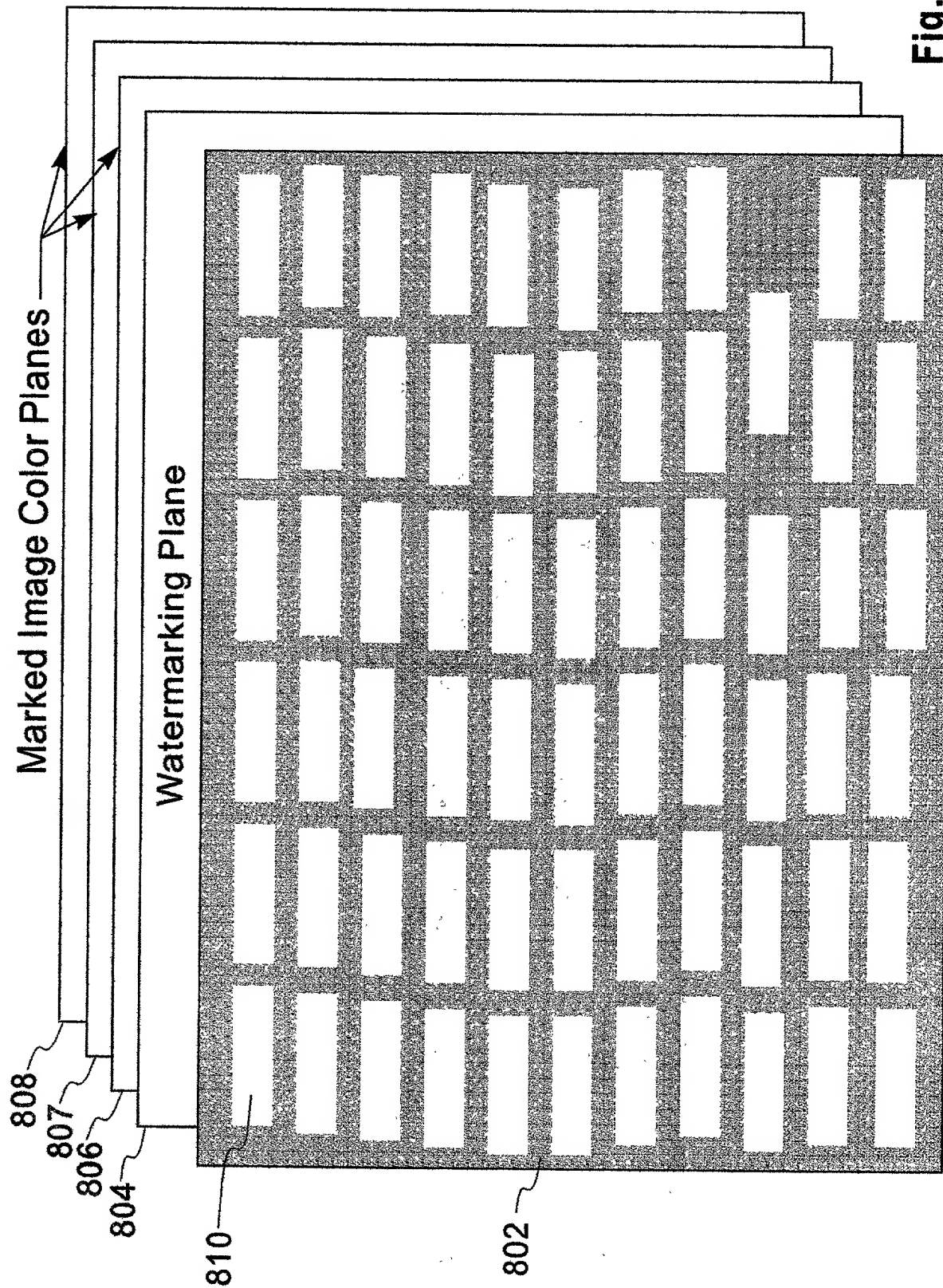


Fig. 7 (continued)

Fig. 8



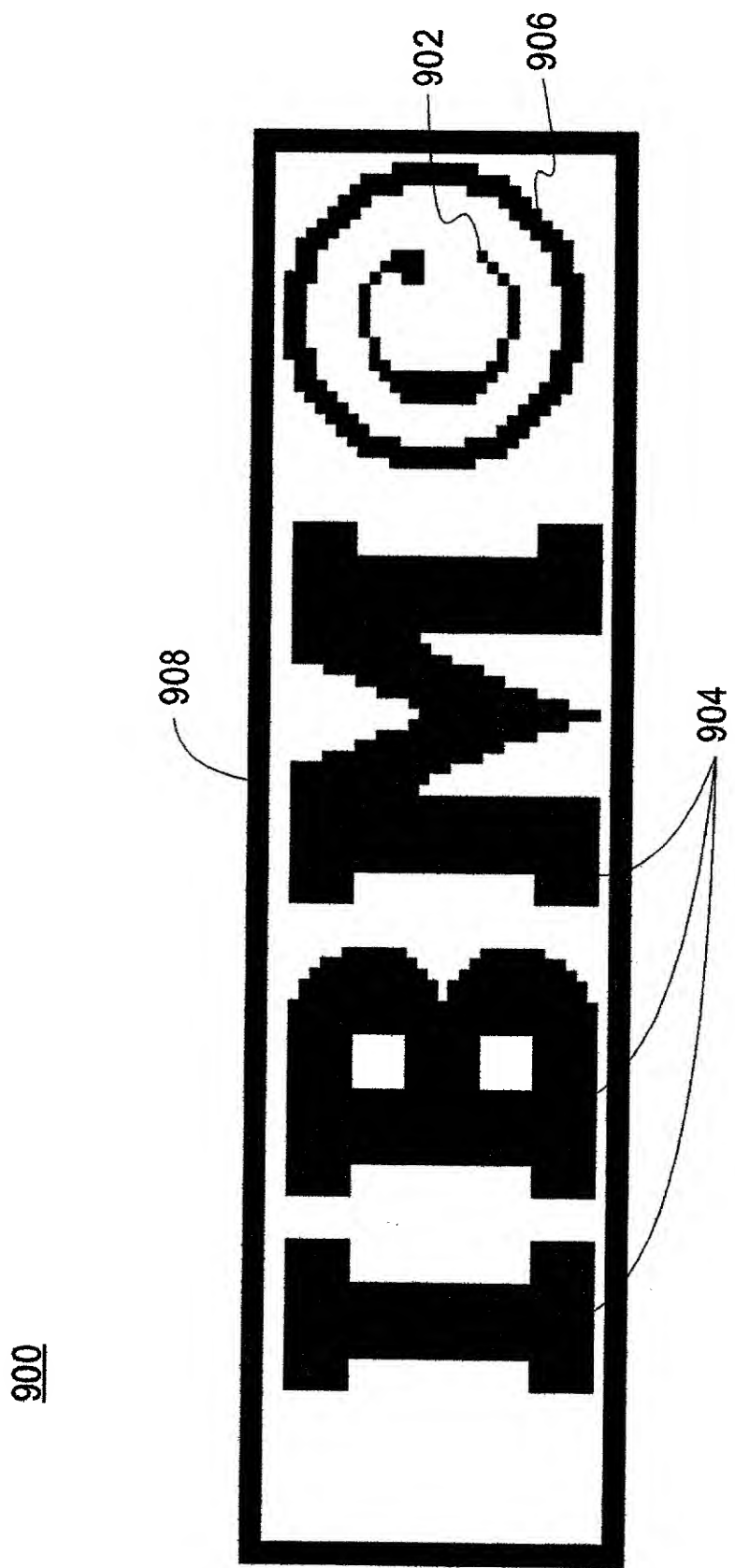


Fig. 9

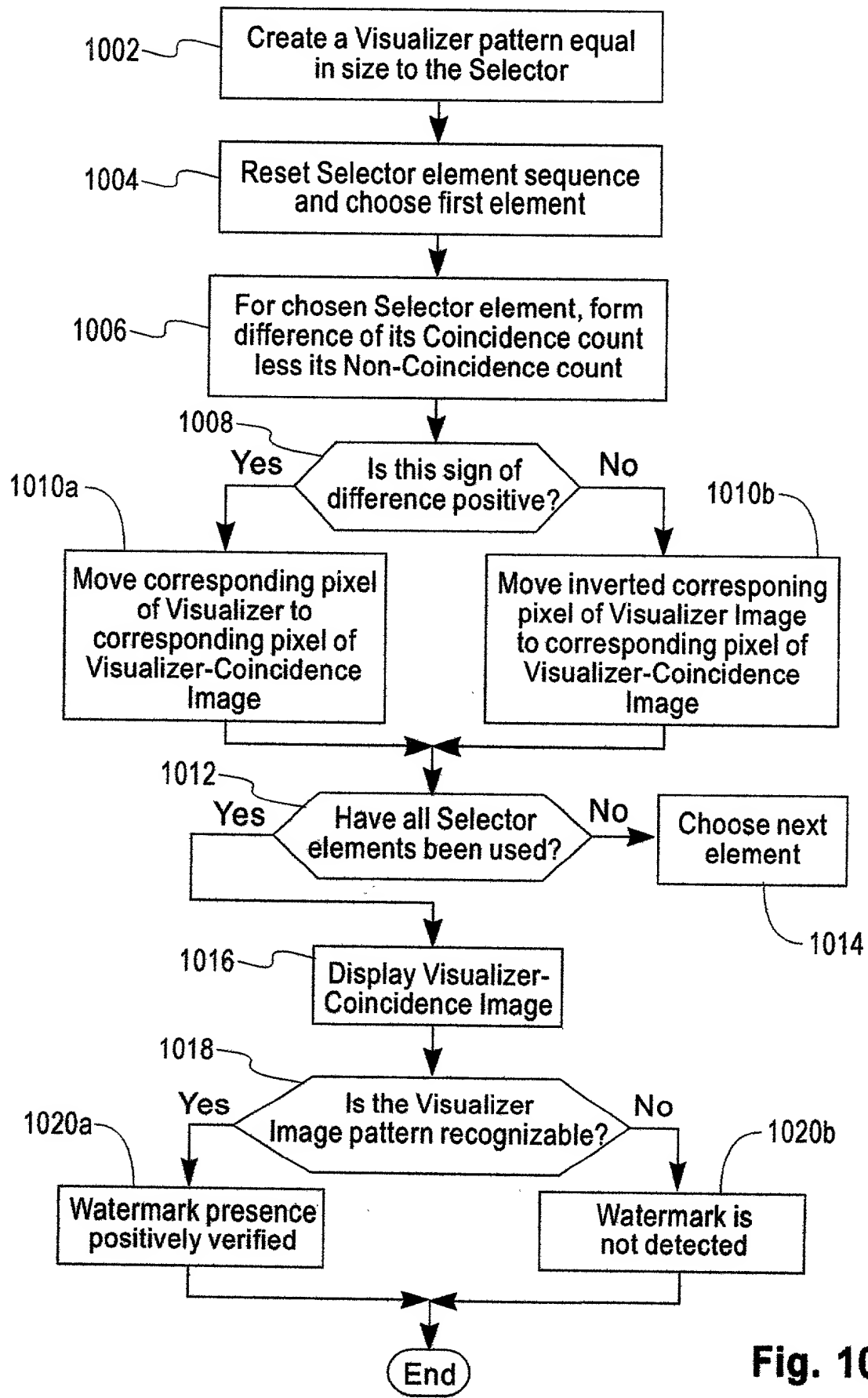


Fig. 10

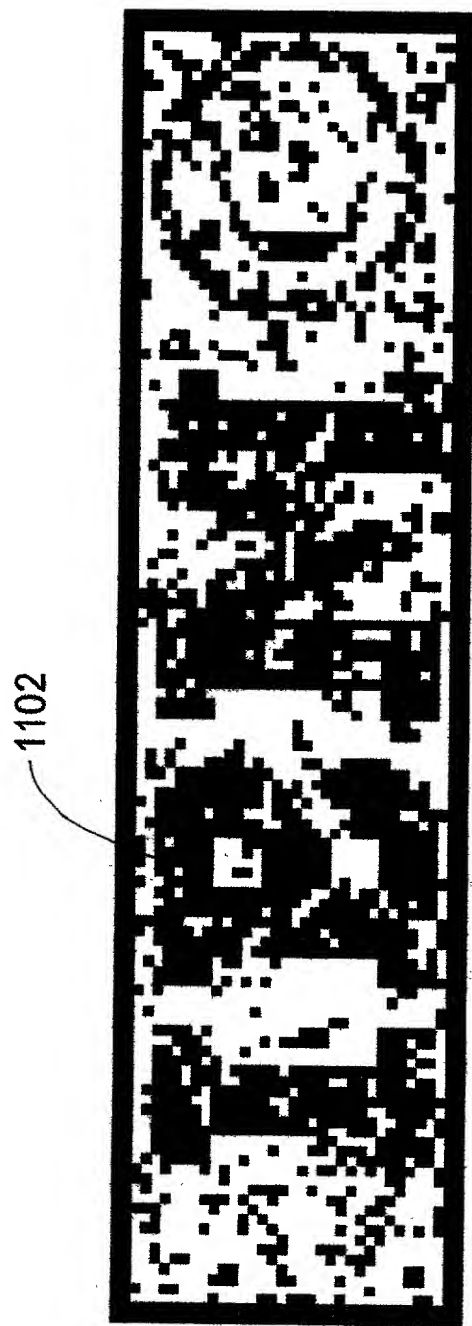


Fig. 11

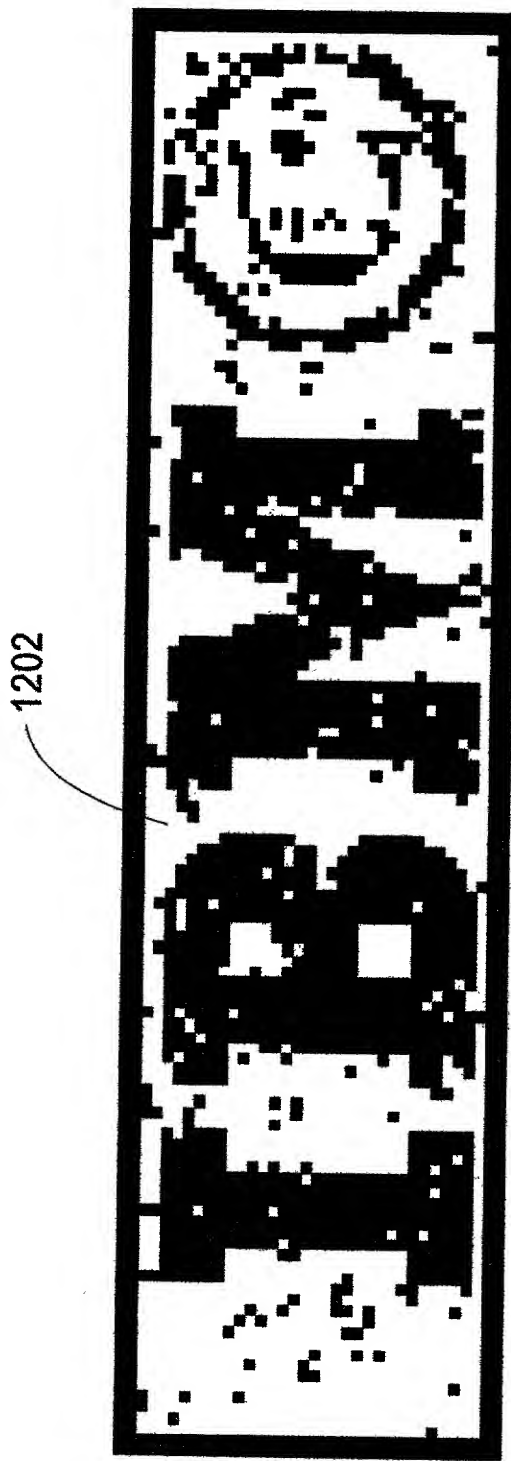
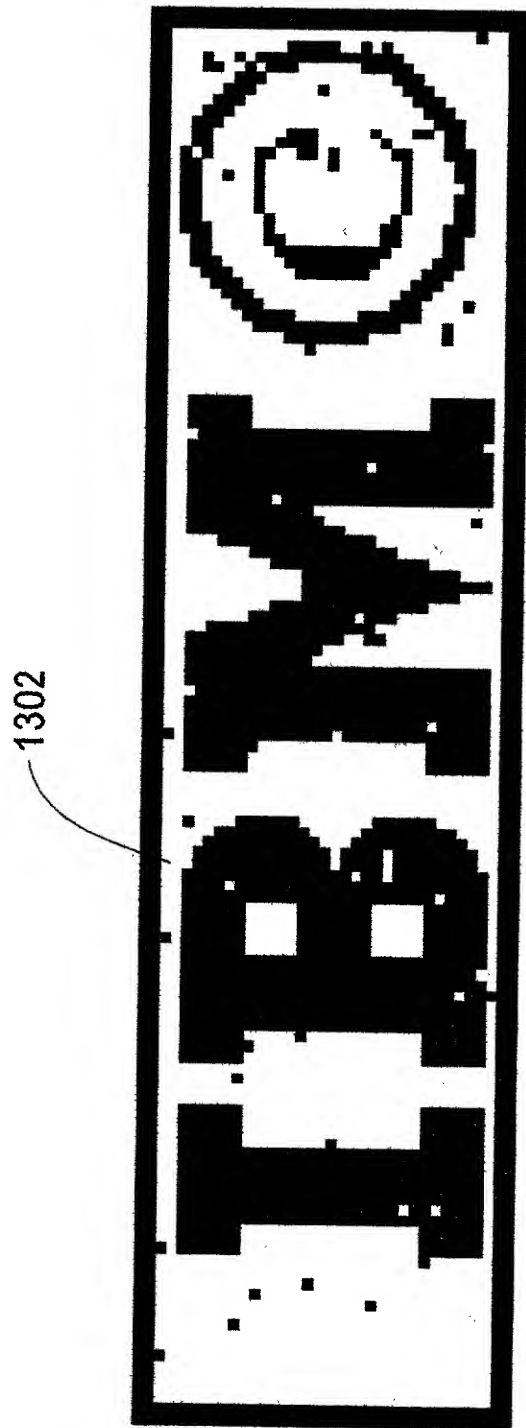
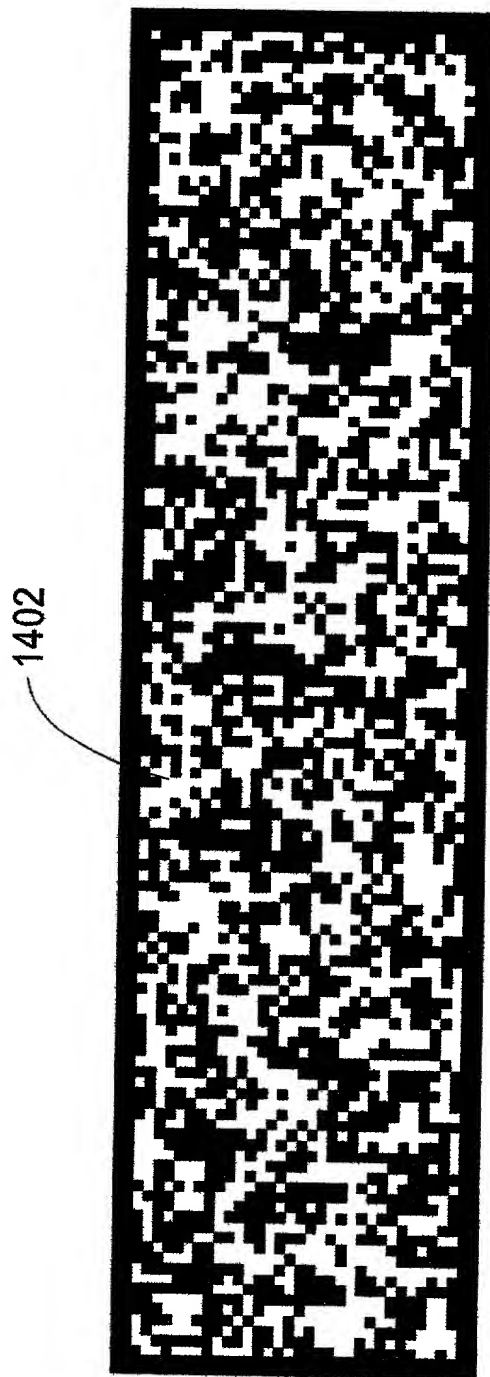


Fig. 12



**Fig. 13**



**Fig. 14**

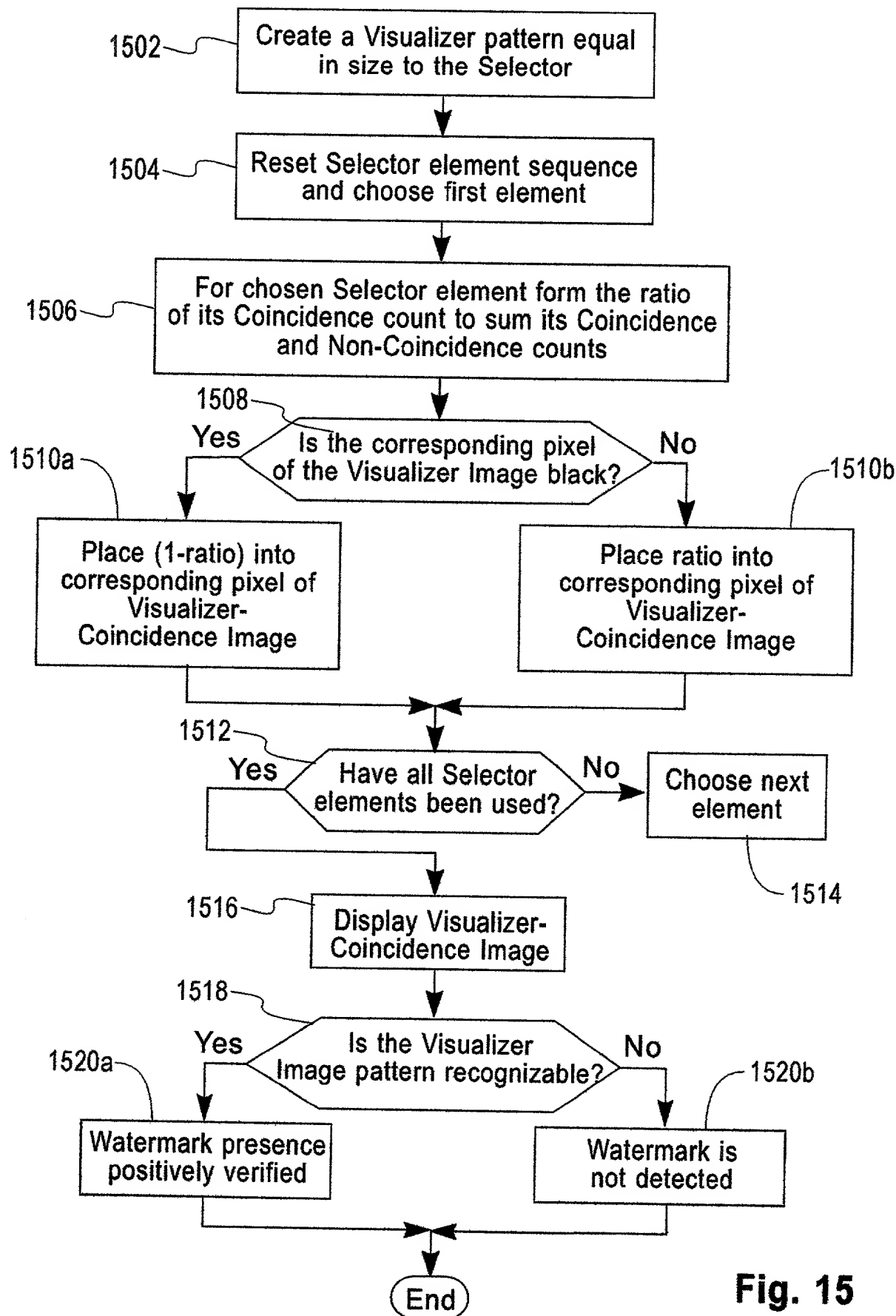
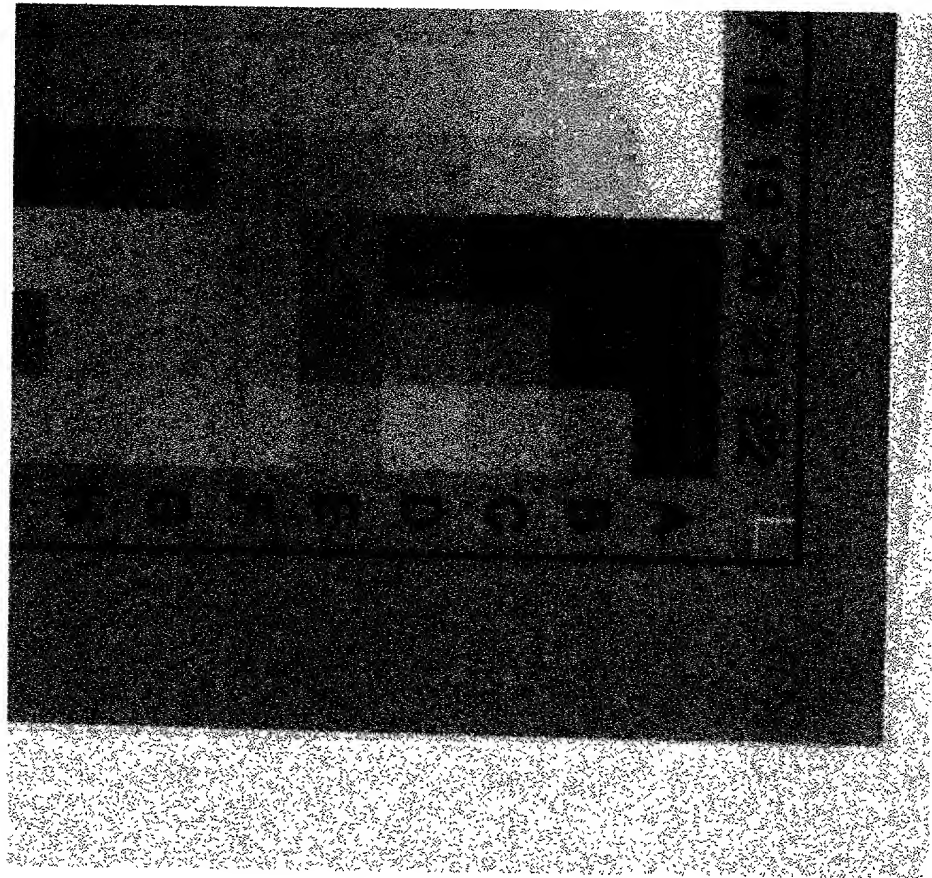


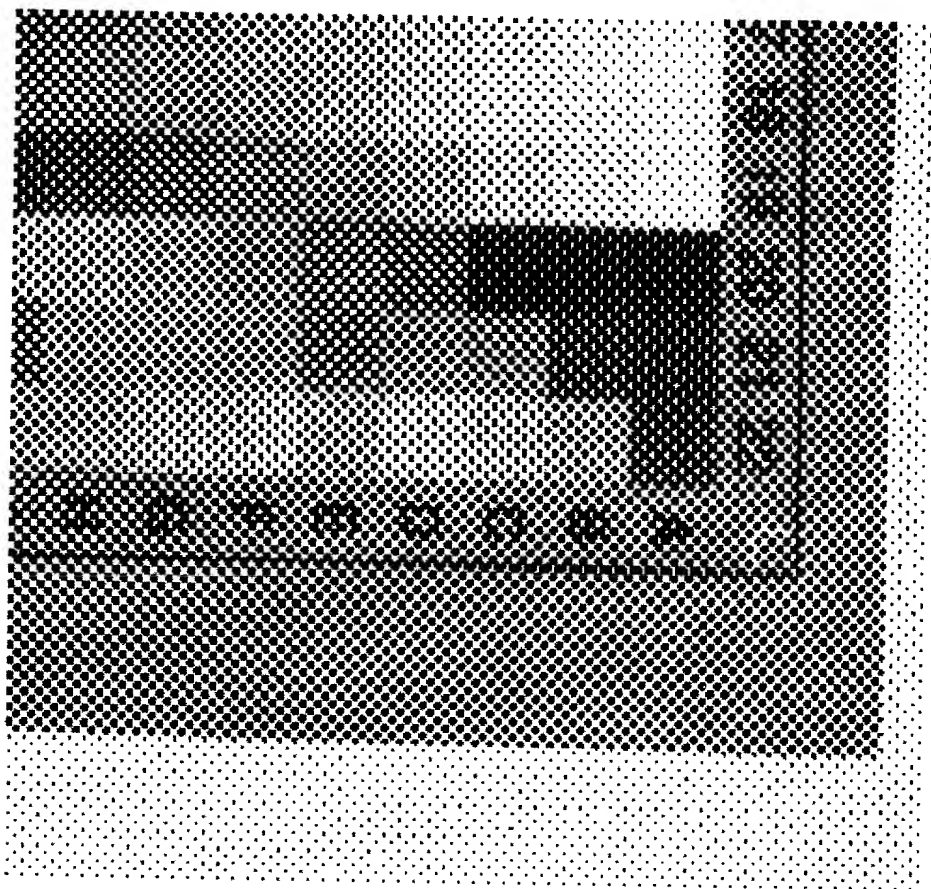
Fig. 15

16/19

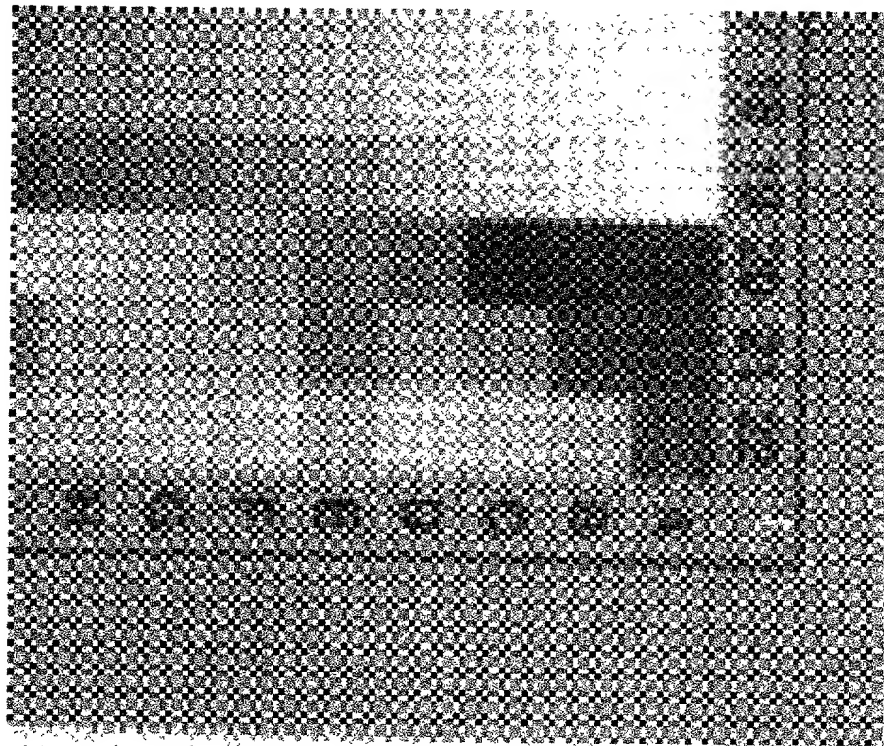
Braudaway et al.  
L.P.H. YOR019960153US4



**Fig. 16**



**Fig. 17**



**Fig. 18**

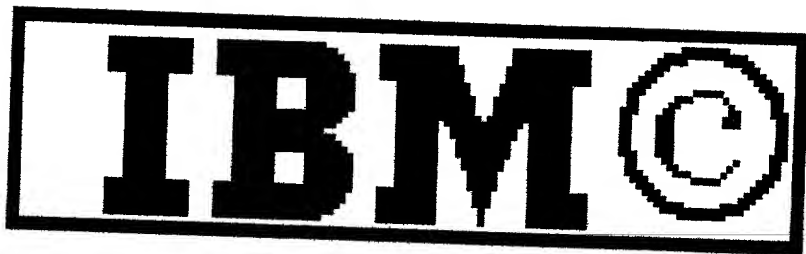


Fig. 19



Fig. 20

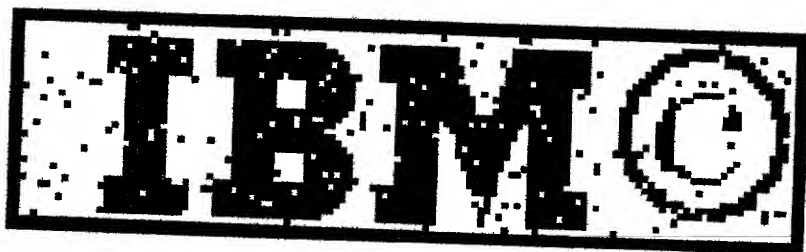


Fig. 21